

## بررسی ژئوشیمیایی و تعیین خاستگاه نهشته‌های پادگانه‌ای رودخانه قلیان در منطقه قالیکوه لرستان، زاگرس مرتفع

امیرسعید حسینی<sup>۱\*</sup>، مهراب رشیدی<sup>۲</sup> و منوچهر دریابنده<sup>۳</sup>

- ۱- کارشناس ارشد عملیات زمین‌شناسی، مدیریت اکتشاف، شرکت ملی نفت ایران، تهران، ایران
- ۲- رئیس اداره سیستم‌های هیدرولوژی، مدیریت اکتشاف، شرکت ملی نفت ایران، تهران، ایران
- ۳- رئیس مطالعات اداره ژئوشیمی، مدیریت اکتشاف، شرکت ملی نفت ایران، تهران، ایران

نویسنده مسئول: a.saeedhosseini@gmail.com

دریافت: ۱۴۰۳/۴/۲۷ پذیرش: ۱۴۰۲/۱۰/۵

نوع مقاله: پژوهشی

### چکیده

منطقه قالیکوه لرستان به دلیل گسترش شیل‌های نفتی (نهشته‌های ژوراسیک‌میانی-کرتاسه‌پیشین) در زمین‌شناسی ایران بسیار حائز اهمیت می‌باشد. رودخانه قلیان در بستر این نهشته‌ها جریان دارد. به منظور بررسی ژئوشیمی عنصری، تعیین خاستگاه و بررسی ارتباط غلظت عناصر با مقدار ماده آلبوم، تعداد ۱۵ نمونه از رسوبات پادگانه‌ای رودخانه قلیان و ۱۵ نمونه از شیل‌های نفتی اطراف برداشت و مورد آنالیز پتروگرافی و ژئوشیمیایی قرار گرفت. نتایج نشان داد بیشترین تهی‌شدگی اکسیدهای اصلی در رسوبات به دلیل به تحرک زیاد Na طی فرایند هوازدگی شیمیایی و دگرسانی‌های ثانویه مربوط به CaO است و غنی‌شدگی فقط نسبت به عناصر جزئی Sb، As، V و Ni مربوط به شیل‌ها و Sr با پراکنده‌گی کانی‌های رسی و لایه‌های آهکی و pH قلیایی محیط مرتبط است و تهی‌شدگی Rb پیامد شکسته‌شدن فلدوپارها در دگرسانی می‌باشد. عناصر Nb و Zr در کانی‌های رسوبی به صورت فرعی وجود دارند. خاستگاه عناصر جزئی و خاکی کمیاب مرتبط با جایگاه تشکیل، هوازدگی در نهشته‌ها و میزان کل کربن آلی موجود در شیل‌های نفتی پراکنده در منطقه است. نمونه سنگ‌های آواری در محدوده لیتاڑایت، آرکوز تا شیل قرار گرفته‌اند که مرتبط با حاشیه فعال قاره‌ای و برخوردي هستند. خاستگاه تشکیل نهشته‌ها حاکی از شرایط آب و هوایی خشک با رسیدگی شیمیایی کم است و با توجه به نسبت Th/U رسوبات از سنگ‌منشاء با کمترین هوازدگی یا از موادی با کمترین حمل و نقل- رسوب‌گذاری مشتق شده‌اند. میزان اندیس PIA و ICV نمونه‌ها نشان از تأثیر کم هوازدگی بر رسوبات مرتبط با محیط‌های زمین‌ساختی فعال می‌باشد.

**واژگان کلیدی:** رودخانه قلیان، ژئوشیمی رسوبی، شیل‌های نفتی، قالیکوه، خاستگاه رسوبات

می‌توانند در اثر هوازدگی وارد نهشته‌های رودخانه‌ها شوند و محدوده گوناگونی از تغییرات فیزیکی و شیمیایی داشته باشند (داس و هاک، ۲۰۰۳). تفاوت رفتار ژئوشیمیایی بعضی از این عناصر می‌تواند به عنوان شاخص مفیدی برای تعیین فرآیندهای زمین‌شناسی منشاء و ساختار زمین‌ساختی حوضه‌های رسوبی، سرنوشت مواد حمل شده به درون حوضه‌ها و همچنین عوامل کنترل‌کننده توزیع ژئوشیمیایی رسوبات در یک رودخانه در طول فرسایش، هوازدگی و رسوب‌گذاری به کار گرفته شود (رُز و همکاران، ۲۰۰۴)، بدین منظور این پژوهش، با هدف بررسی غلظت عناصر و تعیین خاستگاه نهشته‌های پادگانه‌ای رسوبات رودخانه قلیان در گستره قالیکوه لرستان صورت گرفت. این

### ۱- پیشگفتار

ترکیب شیمیایی رسوبات آواری محصول نهایی عوامل مختلفی مانند جایگاه زمین‌ساختی، ترکیب سنگ‌منشاء، شدت هوازدگی، بلوغ بافتی و کانی‌شناسی در طی حمل و رسوب‌گذاری می‌باشد (روزار و همکاران، ۲۰۰۶). الگوی توزیع عناصر اصلی، جزئی و خاکی کمیاب در سامانه‌ها و زیر محیط‌های آبی مانند رودخانه‌ها در مقایسه با الگوی توزیع آن‌ها در سنگ‌های منشاء، برای مطالعات ژئوشیمیایی و رسوب‌شناسی ضروری می‌باشد (نَپ و همکاران، ۲۰۰۵). مطالعه ژئوشیمی عناصر جزئی می‌تواند نقش موثری در آشکار کردن شرایط رسوب‌گذاری و هوازدگی این نهشته‌ها داشته باشد. عناصر خاکی کمیاب

**۲- موقعیت جغرافیابی و زمین‌شناسی ناحیه گستره قالیکوه عرض جغرافیابی " ۳۶°۷۱' و طول جغرافیابی ۲۳۲' ۴۹°۲۸' در رشته کوه‌های زاگرس، در جنوب اشتراک‌کوه، ۳۵ کیلومتری الیگودرز و در مرکز بخش بشارت‌لطفی این شهرستان واقع است. ناحیه مورد مطالعه بخشی از کمربند چین خورده- رانده شده زاگرس<sup>۱</sup> یا زاگرس مرتفع<sup>۲</sup> است که ساختمان‌های موجود در آن روند شمال‌باختری- جنوب‌خاوری دارند (شکل ۱). رودخانه قلیان<sup>۳</sup> یکی از مهم‌ترین رودخانه‌های این منطقه است که در نهایت به رودخانه دز منتهی می‌گردد. در این منطقه شیل‌های نفتی در برخی از سازندها مانند، سرگلو (ژوراسیک‌میانی) و گرو (کرتاسه‌پیشین) گسترش یافته‌اند که بزرگ‌ترین منبع هیدرولوگی نامتعارف در ایران محسوب می‌شوند. سازندهای پالئوزوئیک- سنوزوئیک (از نهشته‌های ماقبل دالان تا آبرفت‌های عهد حاضر) نیز در این منطقه قابل روئیت هستند.**

### ۳- روش پژوهش

آبراهه‌های سطحی دائمی رودخانه قلیان فقط در دو شاخبه پیربادوش (P) و گشون (G) جاری هستند و در شاخبه‌های دیگر، آبراهه‌ها به صورت فصلی جریان دارند و رخمنون رسوبات و شیل‌های نفتی در این برش‌ها شرایط بهتری دارند، لذا نمونه‌برداری رسوبات در این شاخبه‌ها از پادگانه‌های رودخانه‌ای و به صورت تصادفی و متناسب با استانداردهای نمونه‌برداری رسوب‌شناسی (تاکر، ۱۹۸۸) توسط بیلچه و از عمق ۱۰-۳۰ سانتی‌متری رسوبات صورت گرفت. ۱۵ نمونه برداشت شده پس از الک‌کردن برای توزیع اندازه دانه‌های آلی و غیرآلی (مک گلینچی، ۲۰۰۹)، توسط فرچه به کیسه‌های زیپ‌دار پلاستیکی منتقل شده و برای آنالیزهای آزمایشگاهی به آزمایشگاه پژوهشکده صنعت نفت منتقل گردید. در آزمایشگاه غلظت میزان اکسیدهای اصلی و عناصر (جزئی و خاکی کمیاب) با استفاده از آنالیز ICP-MS<sup>۴</sup> و فاز شیمیایی نهشته‌ها با آنالیز XRF<sup>۵</sup> و فاز کانیایی نهشته‌ها با آنالیز XRD<sup>۶</sup> مشخص گردید. به منظور مطالعات پتروگرافی از گراول‌های نهشته‌های رودخانه قلیان، برش‌نازک میکروسکوپی نیز تهیه گردید. این برش‌ها از نمونه‌هایی که فرسایش کمتری را متحمل

نهشته‌های پادگانه‌ای منسب به توالی‌های ژوراسیک‌میانی- کرتاسه‌پیشین در زاگرس مرتفع می‌باشد. این توالی در منطقه قالیکوه لرستان، شامل شیل‌های نفتی سازند گرو و سرگلو می‌باشد. از این‌رو بررسی ارتباط عناصر نهشته‌های این پادگانه‌ها با میزان مواد آلی شیل‌های نفتی مجاور آن‌ها نیز مورد ارزیابی قرار گرفته است. از جمله پژوهش‌های مشابه می‌توان به موارد زیر اشاره نمود: کلاغری و همکاران (۱۳۹۱) در پژوهشی مشابه زمین‌شیمی عناصر اصلی و فرعی ماسه‌سنگ‌های سازند لالون در جنوب باختر مشهد را مورد بررسی قرار داده و اذعان داشتند که این نهشته‌ها مجموعه‌ای از لایه‌های ماسه‌سنگی- کنگلومراپی می‌باشند که خاستگاه تکتونیکی آن‌ها مربوط به محیط حاشیه قاره‌ای غیرفعال می‌باشد و در شرایط هوازدگی متوسط تکوین یافته‌اند (کلاغری و همکاران، ۱۳۹۱). در پژوهشی دیگر شهرکی و همکاران (۱۳۹۴)، ژئوشیمی رسوب‌های رودخانه سریان را مورد مطالعه قرار داده و ترکیبی معادل لیترنایت را برای آن‌ها معرفی نموده‌اند. معلمی و همکاران (۱۳۹۶) بررسی ژئوشیمیابی عناصر اصلی و فرعی ماسه‌سنگ‌های سازند رازک در جنوب خاور حوضه‌رسوبی زاگرس را مورد پژوهش قرار دادند. نتایج این پژوهش حاکی از این بود که این نهشته‌ها در حاشیه فعال قاره‌ای با نرخ هوازدگی متوسط تشکیل شده‌اند و بیانگر آب و هوای خشک می‌باشند. حسین‌زاده و همکاران (۱۳۹۸)، ژئوشیمی نهشته‌های کواترنری رودخانه کالشور بینالود را مورد بررسی قرار دادند و اذعان داشتند که جایگاه زمین‌ساختی در محدوده قوسی اقیانوسی و محدوده قوسی قاره‌ای است. افرون بر این، نتایج حاصل از نمودار تغییرات CO<sub>2</sub> و بررسی اکسیدهای اصلی در این نهشته‌ها، بیانگر میزان هوازدگی کم و شرایط آب و هوایی خشک در زمان رسوب‌گذاری است. صالحی و مژووعی سبدانی (۱۳۹۸) با مطالعه بر روی عناصر کمیاب و نادرخاکی نهشته‌های سیلیسی- آواری قرمز کرتاسه‌زیرین شمال شرق اصفهان به این نتیجه رسیدند که داده‌ها در محدوده تکتونیکی حاشیه قاره‌ای غیرفعال و جزایر قوسی قاره‌ای قرار گرفته‌اند و بررسی هوازدگی نهشته‌های مورد مطالعه مؤید میزان هوازدگی بالا در ناحیه منشاء است.

<sup>4</sup> Inductively Coupled Plasma.mass spectrometry (ICP-MS)

<sup>5</sup> X.Ray Fluorescence (XRF)

<sup>6</sup> X.Ray Diffraction (XRD)

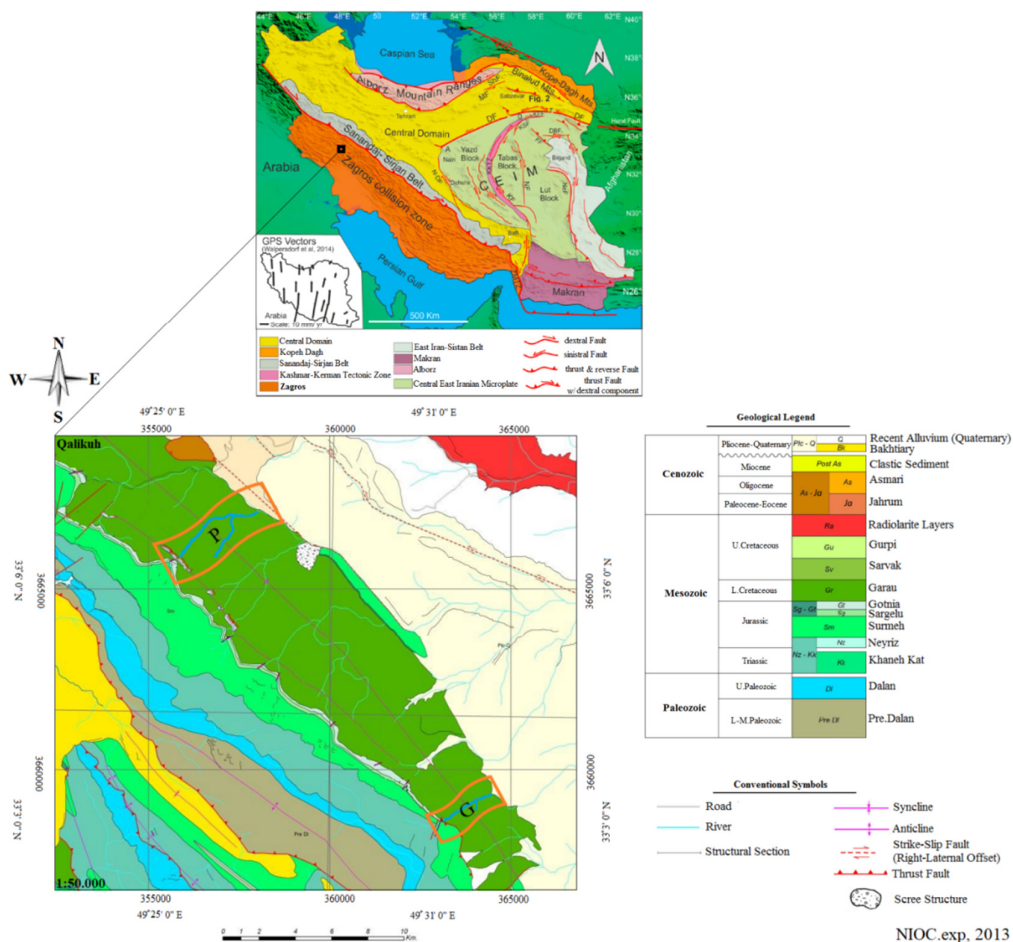
<sup>۱</sup> Zagros Fold-Thrust Bed

<sup>۲</sup> High Zagros

<sup>۳</sup> Qolyan River

نرمال‌سازی داده‌ها در نرم‌افزار SPSS پرداخته شد و از ضریب همبستگی پیرسون به دلیل کارایی بیشتر نسبت به ضریب همبستگی اسپیرمن استفاده شده است. در مطالعات ژئوشیمیایی برای بررسی میزان غلظت عناصر اصلی و جزئی، از استانداردهای مانند پوسته قاره‌ای بالایی<sup>۱۲</sup>، شیل‌های استرالیایی پس از آرکئن<sup>۱۳</sup> و شیل‌های آمریکای شمالی<sup>۱۴</sup> استفاده شده است (تیلور و مکلنان، ۱۹۸۵). ولی در بررسی میزان غلظت عناصر خاکی کمیاب علاوه بر استانداردهای مذکور از میانگین جهانی شیل<sup>۱۵</sup> نیز استفاده شده است (پایپر، ۱۹۷۴). در خاتمه با استفاده از نمودارها، به بررسی ماهیت سنگ‌منشاء، تعیین خاستگاه و ترکیب سنگ‌های آواری و میزان هوازدگی آن‌ها پرداخته شد.

شده و اندازه بزرگ‌تری (بیش از ۲ mm) داشته و بیش از ۵۰٪ وزن خود روى الک باقی گذاشته‌اند (هسترا و همکاران، ۲۰۲۳)، تهیه شده‌اند. ۱۵ نمونه از شیل‌های نفتی اطراف رسوبات برداشت شده نیز جهت بررسی میزان کل کربن آلی<sup>۷</sup> موجود در آن‌ها برداشت شدند تا مورد آزمایش پیروولیز راک-اوّل<sup>۸</sup> قرار گیرند (شکل ۲). در ادامه پس از تعیین فازهای کائیایی رسوبات پادگانهای رودخانه‌ای و مطالعات ژئوشیمیایی عناصر (اصلی، جزئی، خاکی کمیاب) موجود در این نهشته‌ها، با محاسبات آماری (ضریب همبستگی پیرسون<sup>۹</sup>، تحلیل خوش‌های<sup>۱۰</sup> و تحلیل مؤلفه اصلی<sup>۱۱</sup>، به ارتباط عناصر جزئی و نادر خاکی موجود با میزان کل مواد آلی شیل‌های نفتی اطراف این رسوبات پرداخته شده است (جدول ۱). در این خصوص ابتدا به



شکل ۱. نقشه زمین‌شناسی (۱:۵۰,۰۰۰) منطقه و جایگاه برش‌های مورد مطالعه (NIOC.exp 2013)

Fig. 1. Geological map (1:50,000) of the region and the location of the studied sectios (NIOC.exp 2013)

<sup>12</sup> Upper Continental Crust (UCC)

<sup>13</sup> Post-Archean Australian Shale (PAAS)

<sup>14</sup> North American Shale Composite (NASC)

<sup>15</sup> World Shale Average (WSA)

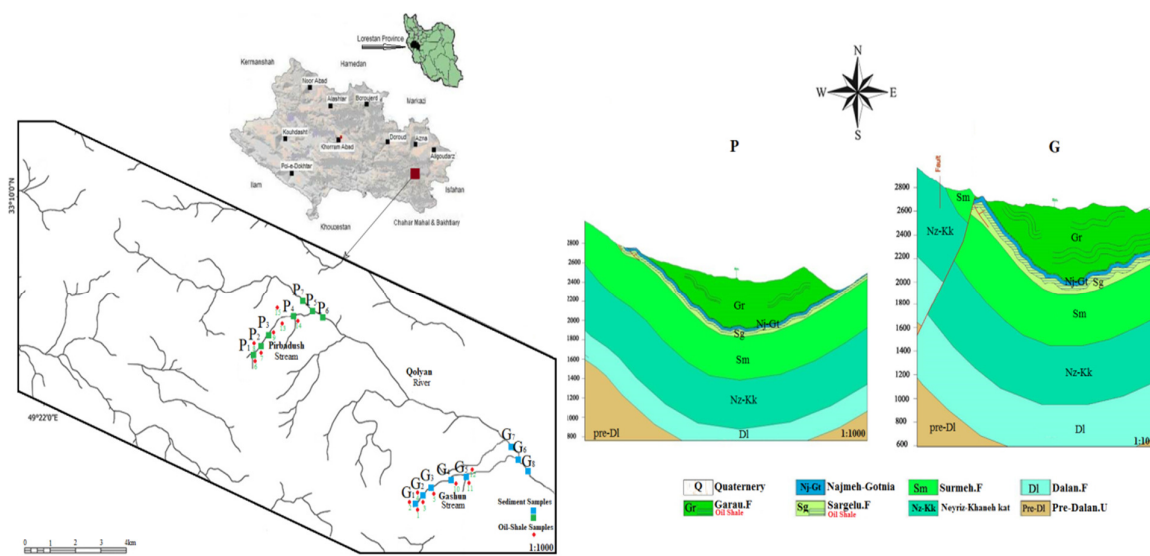
<sup>7</sup> Total Organic Carbon (TOC)

<sup>8</sup> Rock-Eval Pyrolysis

<sup>9</sup> Pearson's Correlation Coefficient

<sup>10</sup> Clustral Analysis (CA)

<sup>11</sup> Principle Component Analysis (PCA)



شکل ۲. مکان‌های نمونه‌برداری رسوبات پادگانهای و شیل‌های نفتی اطراف آن‌ها  
Fig. 2. Sampling locations of fluvial terrace sediments and oil shale's around them

#### جدول ۱. میزان کل کربن آلی نمونه‌های شیل‌های نفتی

Table 1. Total organic carbon (TOC) content of oil shales samples

| Section | Sample | TOC   | Section   | Sample | TOC   |
|---------|--------|-------|-----------|--------|-------|
| Gashun  | 1      | 15.3  | Pirbadush | 6      | 20.2  |
|         | 2      | 8.78  |           | 7      | 22.4  |
|         | 3      | 13.8  |           | 8      | 23.93 |
|         | 4      | 0.63  |           | 9      | 11.58 |
|         | 5      | 3.4   |           | 13     | 19.59 |
|         | 10     | 15.2  |           | 14     | 13.97 |
|         | 11     | 19.1  |           | 15     | 6.52  |
|         | 12     | 13    |           | Ave    | 16.88 |
|         | Ave    | 11.15 |           |        |       |
|         |        |       |           |        |       |
|         |        |       |           |        |       |

فازهای فرعی می‌باشند ولی در شاخابه پیربادوش شامل فاز اصلی کلسیت، کوارتز و فاز نیمه فرعی دولومیت، آلبیت، ایلیت و فاز فرعی پیریت و سولفور است (جدول ۲) و (شکل ۴). وجود دولومیت در نهشته‌های شاخابه گشون در ارتباط با ترکیب سنگ‌شناسی سازندگان نجمه و گوتینا است و برتری کوارتز در نمونه‌ها مرتبط با نهشته‌های کواترنری و رسوبات آبرفتی می‌باشد. در رسوبات شاخابه پیربادوش کانی دولومیت جزء فاز اصلی کانی‌ها نبوده و تنها در نمونه P1 در فاز اصلی است، زیرا مطابق نقشه زمین‌شناسی ناحیه مورد مطالعه، در قراابت با سازندگان تیخیری نجمه و گوتینا است. هرچند طبق مطالعات قبلی که بر روی شیل‌های نفتی منطقه انجام شده است، کوارتز، دولومیت، کلسیت و فلدسپار از کانی‌های اصلی در ساختار شیل‌ها می‌باشند، نتایج حاصل در این پژوهش گواه بر این دارد که کانی رسی ایلیت و پالازیوکلازالهایی مانند آلبیت (فلدسبات سدیک) و

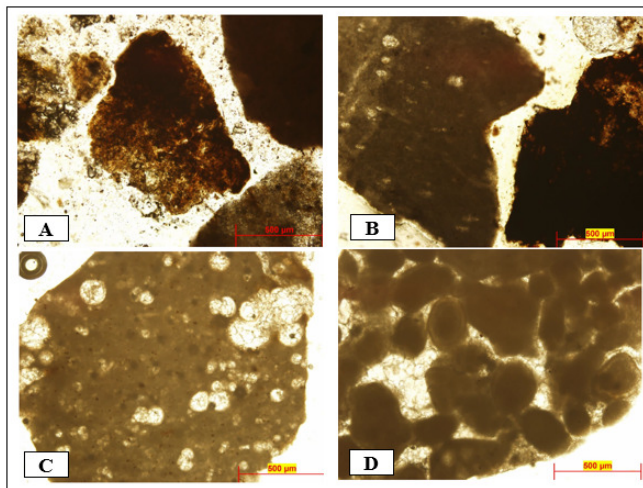
#### ۴- نتایج و بحث

##### ۴-۱- پتروگرافی و کانی‌شناسی

بررسی نهشته‌های درشت دانه و گراولی رودخانه گلیان نشان‌دهنده ترکیب عمدتاً آهکی و شیلی برای این گراولهای می‌باشد. این قطعات آهکی عموماً کلسیتی و میکرایتی شده و حاوی آثار فسیلی نیز می‌باشند. در برخی از مقاطع نازک، کانی‌هایی مانند کوارتز، رگه‌های کلسیت و دولومیت درون خردمندی‌های آواری (گلستنگ) رسوبات پادگانهای وجود دارند. قطعات مذکور عمدتاً در ارتباط با سازندگان قديمی‌تر هستند که توسط تکتونیک پویا و چرخه‌های رسوبی در این نهشته‌ها به جای گذاشته شده‌اند (شکل ۳). بررسی ترکیب کانی‌شناسی نهشته‌های درشت- متواسط دانه رودخانه گلیان، در شاخابه گشون نشان‌دهنده وجود فاز اصلی دولومیت، کلسیت، کوارتز و فاز نیمه فرعی کانی‌های آلبیت و ایلیت می‌باشد. پیریت و سولفور نیز جزء

وجود می‌آید که نشان‌دهنده pH نزدیک به خنثی یا کمی قلیایی محیط است. ابقاء کاتیون‌های قلیایی (به ویژه پتاسیم) از شرایط تشکیل ایلیت است که احتمالاً حاصل اُرتوکلازاها یا فلدسپات‌های پتاسیک (میکروکلین، آنورتوکلاز، اُرتوکلاز و سانیدین) است (کردی و بشیری، ۱۳۸۲).

گاه‌آنورتیت (فلدسپات کلسیک) در ناحیه مورد مطالعه، جزء کانی‌های نیمه‌فرعی نهشته‌های رودخانه‌ای محسوب می‌شوند که به صورت اصلی و فرعی نمی‌باشند<sup>(۱)</sup>. با تجزیه و تخریب فلدسپات‌های قلیایی و از طریق انتشار یونی، ایلیت در جزا<sup>۱</sup> در اثر از دستدادن آب بین‌لایه‌ای و جذب پتاسیم و از طریق انتشار یونی طی دفن‌شدگی رس‌ها به

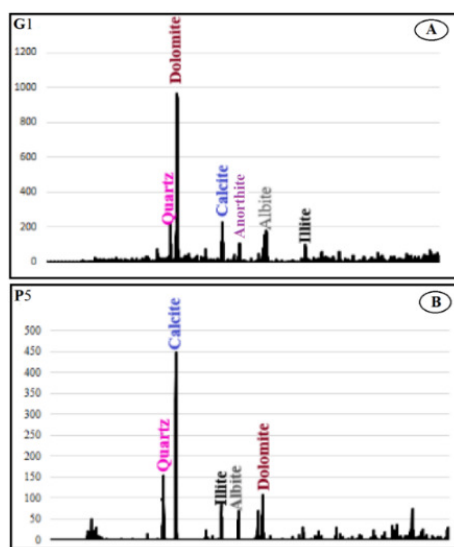


شکل ۳. تصاویر میکروسکوپی گراؤل‌های رودخانه گلیان

الف: شیل، ب: مادستون آهکی، پ: بیوکلست و کستون، ت: اوویید - اینترابیوکلست پکستون/گرینستون

Fig. 3. Microscopic images of Qolyan river gravels

a: shale, b: calcareous mudstone, c: bioclast wackestone, d: ooid-interabioclast packstone/grainstone



شکل ۴. نمودار آنالیز XRD رسوبات رودخانه گلیان

A: گشون، B: پیربدوش

Fig. 4. XRD analysis diagram of Qolyan river sediments

A: Pirbadush, (P) B: Gashun (G)

<sup>1</sup> Autogenic

## جدول ۲. فازهای کانیایی نهشته‌های گراوی - ماسه‌ای رودخانه قلیان

Table 2. Mineral phases of gravel-sand deposits of Qolyan River sediments

| Sample | Main phase                | Semi-Sub phase            | Sub Phase       |
|--------|---------------------------|---------------------------|-----------------|
| G      | Dolomite, Calcite, Quartz | Albite, Illite, Anorthite | Sulphur, Pyrite |
| P      | Calcite, Quartz           | Dolomite, Albite, Illite  | Sulphur, Pyrite |

نهشته‌ها باشد (آنکه در ۲۰۱۸). غنی‌شدگی فقط نسبت به CaO وجود دارد که علت آن لیتولوژی آهکی منطقه می‌باشد. بیشترین غلظت اکسیدی در رسوبات پادگانه‌ای قلیان پس از CaO مربوط به سیلیس ( $\text{SiO}_2$ ) با میانگین کل ۴۴/۲٪ می‌باشد که به صورت کوارتز در نمونه‌ها وجود دارد. نسبت  $\text{SiO}_2/\text{Al}_2\text{O}_3$  بیش از ۵-۶ در رسوبات نشان‌دهنده بلوغ رسوبی بسیار بالا می‌باشد (روزیر و همکاران، ۱۹۸۶) ولی این نسبت در کلیه رسوبات پادگانه‌ای مورد مطالعه کمتر از ۵ است که نشانه عدم بلوغ این نهشته‌ها می‌باشد. همچنین  $\text{P}_2\text{O}_5$  نسبت به استانداردهای یادشده در رسوبات شاخابه پیربادوش دارای غنی‌شدگی است که می‌تواند تحت تأثیر لیتولوژی منطقه باشد. از انجایی که در شرایط احیاء، امکان رسوب فسفات وجود دارد و فسفات‌زایی کانی‌های کربناته اولیه می‌تواند به واسطه فرایند جانشینی صورت گیرد (آهنکوب و کیوانی، ۱۴۰۱)، لذا در شرایط محیطی (احیاء و وجود میانلایه‌های آهکی در نهشته‌ها) ناحیه مورد مطالعه، غنی‌شدگی  $\text{P}_2\text{O}_5$  دور از انتظار نمی‌باشد. بیشترین غنی‌شدگی عنصر جزئی در رسوبات پادگانه‌ای مربوط به عناصر Sb و As می‌باشد و بیشترین تهی‌شدگی نیز در عناصر Rb، Nb و Zr مشاهده می‌شود (جدول ۴ و شکل ۵). تهی‌شدگی شدید Rb پیامد شکسته‌شدن فلدسپارها هنگام فرآیندهای دگرسانی می‌باشد (فولیگناتی و همکاران، ۱۹۹۹). تهی‌شدگی در نهشته‌ها می‌تواند حاصل در کانی‌های سنگ‌های آذرین حد واسطه Zr و بیشتر در کانی‌های سنگ‌های آذرین حد وجود دارند ولی می‌توانند در سنگ‌های رسوبی آواری متوسط-ریز دانه (مانند شیل) به صورت فرعی وجود داشته باشند (اماکی، ۱۳۹۹). غنی‌شدگی بالا نسبت به As، Sb و V می‌تواند در ارتباط مستقیم با شیل‌ها به ویژه Ni و شیل‌های سیاه باشد. به لحاظ ژئوشیمیایی افزایش غلظت عناصر Cr, Mo, Ni, Co, V در افق شیل‌های سیاه دریایی (پیریت‌دار) دور از انتظار نیست (رحمی‌نژاد و زندقدم، ۱۴۰۲). ضمن آنکه عناصر سنگین Cr, Co, Ni می‌توانند در سنگ‌بسترها شیل، ماسه‌سنگ و سنگ‌آهک متتمرکز شوند (خداکرمی و همکاران، ۱۳۹۰). در منطقه قالیکوه

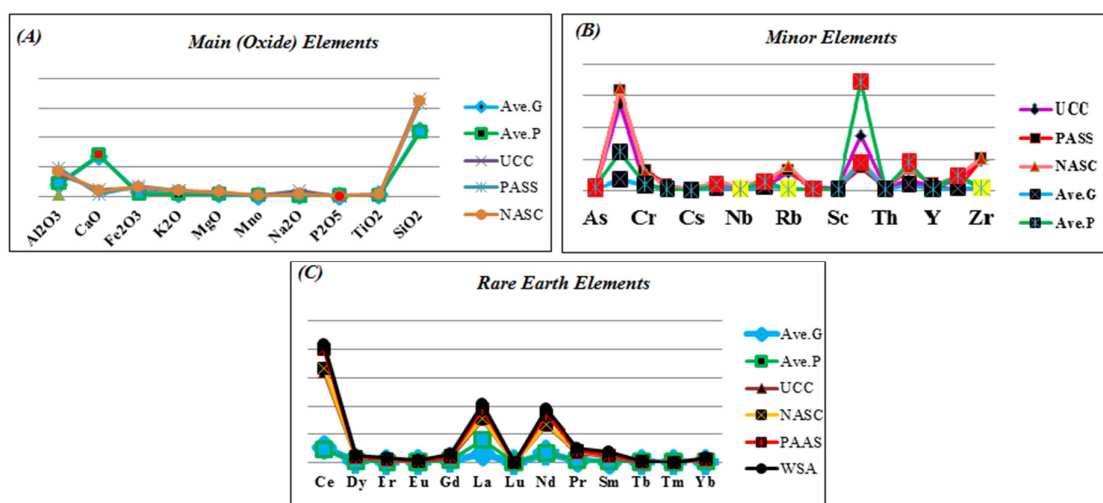
پیریت ( $\text{FeS}_2$ ) و سولفور جزء کانی‌های فرعی رسوبات پادگانه‌ای هستند. پیریت در جزا از سولفور آهن تشکیل شده است که می‌تواند از واکنش سولفید با آهن حاصل از احیاء به وجود آید. شرایط بی‌هوایی در کنار باکتری‌های احیاء سولفات می‌توانند نقش مؤثری در تشکیل کانی‌های در جزا (مانند پیریت) داشته باشند (محمودی قرائی و همکاران، ۱۳۸۹). خاستگاه مهم تأمین سیلیس نیز در یک منطقه می‌تواند حاصل اتحال دانه‌های آواری درون سازنده‌ها و یا دیاژنز کانی‌های رسی در شیل‌ها باشد. یون‌های آهن نیز ممکن است از رسوبات پادگانه‌ای کهنه‌تر و یا شیل‌های پیریت‌دار تأمین شود که این فرایند وابسته به شرایط احیایی و در دسترس بودن یون‌های آهن و سولفور می‌باشد (خانه‌باد و همکاران، ۱۳۹۱). بر اساس مطالعات قبلی (فریدونی و همکاران، ۱۳۹۴) در این منطقه  $\text{CaSO}_4$  (۳) اکسایش پیریت باعث تشکیل ژیپس ( $\text{CaSO}_4 \cdot 2\text{H}_2\text{O}$ ) و تجزیه پیریت باعث تشکیل ژوراسیت ( $\text{KFe}^{3+}(\text{OH})_6(\text{SO}_4)_2$ ) شده است. کانی ژاروسیت، در اثر تجزیه و تخریب پیریت در pH بالای ۲/۵ رسوب می‌کند (آقائی‌کریق و همکاران، ۱۳۹۰). کانی ژیپس که محصول واقعی برونزاد است، می‌تواند در اثر اکسایش پیریت و یا در اثر تغییر در سطح تراز آب در محیط رسوب‌گذاری به وجود آید (دیل و همکاران، ۱۹۹۷).

## ۲-۴- ژئوشیمی عناصر

بررسی میانگین غلظت اکسیدهای اصلی رسوبات پادگانه‌ای نشان می‌دهد که میانگین غلظت عناصر اصلی در نهشته‌های مورد مطالعه کمتر از استانداردها می‌باشد. براساس نمودار غنی‌شدگی و تهی‌شدگی اکسیدهای اصلی (شکل ۵) اکثر عناصر اصلی دارای تهی‌شدگی هستند و بیشترین تهی‌شدگی به دلیل پایداری کم در فرآیندهای حمل و نقل و تحرک زیاد Na در طی هوایی شیمیایی و دگرسانی‌های ثانویه، مربوط به  $\text{Na}_2\text{O}$  می‌باشد (مکلن، ۲۰۰۱). تهی‌شدگی اکسیدهای  $\text{Al}_2\text{O}_3$ ,  $\text{TiO}_2$  و  $\text{Fe}_2\text{O}_3$ ,  $\text{SiO}_2$ ، ناشی از عدم هوایی شدید و حمل کم رسوبات است و تهی‌شدگی  $\text{SiO}_2$  می‌تواند نشان‌دهنده بلوغ پایین

۲۰۰۴). لذا کانی‌های رسی موجود در این منطقه می‌توانند عاملی در تغییر این عنصر باشند. As می‌تواند حاصل انحلال سنگ‌ها و رسوبات منطقه و زمین‌زاد باشد، زیرا احتمال حضور As در کانی‌های سیلیکاتی و کربناتی وجود دارد (اسیدی و همکاران، ۲۰۰۳) و در ساختار بلوری بسیاری از کانی‌های سولفیدی به عنوان جانشینی برای گوگرد (S) وارد می‌شود. پیریت ( $FeS_2$ ) معمولی‌ترین کانی سولفیدی است و می‌تواند منشاء آبودگی آرسنیک باشد که در بسیاری از محیط‌های زمین‌شناسی وجود دارد (الترموزر، ۲۰۱۰).

عناصر کمیاب U، V و Cd موجود در شیل‌های نفتی مرتبط با مواد آلی و به صورت در جزا هستند (پورشبان لیاولی و همکاران، ۱۴۰۰). عنصر Sr در محیط‌های قلیایی حلایت خوبی دارد (أبرت و پینتا، ۱۹۹۷). در این منطقه بر غلظت Sr به سمت پایین دست حوضه به دلیل رخنمون بهتر واحدهای آهکی افزوده شده است. تشابه عنصر Sr با Ca موجب جایگزینی و افزایش انحلال این عنصر در آب مناطق کربناته می‌شود. کائولینیت نیز می‌تواند باعث ثبت عنصری مانند Sr در رسوبات شود (علیپور و عابدینی، ۱۳۹۰) زیرا این عنصر غالباً با جذب سطحی توسط کانی‌های رسی، در رسوبات متتمرکز می‌شود (لانگ مایر،



شکل ۵. نمودارهای بهنجارسازی عناصر رسوبات پادگانهای نسبت به استانداردها

Fig. 5. Normalization charts of elements of the fluvial terrace sediments compared to the standards

جدول ۳. درصد اکسیدهای اصلی رسوبات پادگانهای

Table 3. Percentage of main oxides in fluvial terrace sediments

|           | Al <sub>2</sub> O <sub>3</sub> | CaO   | Fe <sub>2</sub> O <sub>3</sub> | K <sub>2</sub> O | MgO  | MnO  | Na <sub>2</sub> O | P <sub>2</sub> O <sub>5</sub> | TiO <sub>2</sub> | SiO <sub>2</sub> |
|-----------|--------------------------------|-------|--------------------------------|------------------|------|------|-------------------|-------------------------------|------------------|------------------|
| Ave.G     | 7.75                           | 26.81 | 2.74                           | 1.67             | 1.19 | 0.03 | 0.18              | 0.05                          | 0.41             | 44.7             |
| Ave.P     | 8.74                           | 28.21 | 1.63                           | 1.53             | 1.22 | 0.06 | 0.25              | 0.2                           | 0.36             | 43.6             |
| Ave.Total | 8.24                           | 27.51 | 2.18                           | 1.6              | 1.2  | 0.04 | 0.21              | 0.12                          | 0.38             | 44.2             |
| UCC       | 15.2                           | 4.2   | 5                              | 3.4              | 2.2  | 0.08 | 3.9               | 0                             | 0.5              | 66               |
| NASC      | 16.9                           | 3.56  | 6.33                           | 3.99             | 2.85 | 0.06 | 1.15              | 0.11                          | 0.87             | 64.8             |
| PASS      | 18.9                           | 1.3   | 7.23                           | 3.7              | 2.2  | 0.11 | 1.2               | 0.16                          | 1                | 62.8             |

جدول ۴. غلظت عناصر جزئی رسوبات پادگانهای

Table 4. Concentration of minor elements in fluvial terrace sediments

|           | As   | Ba    | Co   | Cr   | Cs   | Cu   | Nb   | Ni   | Rb   | Sb   | Sc   | Sr  | Th    | V    | Y    | Zn   | Zr   |
|-----------|------|-------|------|------|------|------|------|------|------|------|------|-----|-------|------|------|------|------|
| Ave.G     | 0.38 | 68.4  | 5.33 | 27.6 | 0.61 | 13.4 | 1.88 | 18.6 | 10.6 | 0.5  | 2.55 | 174 | 1.44  | 41.1 | 6.35 | 15.5 | 13.8 |
| Ave.P     | 1.87 | 254   | 7.2  | 35   | 0.55 | 36.9 | 1.92 | 49.3 | 8.14 | 0.75 | 2.66 | 692 | 1.25  | 185  | 8.64 | 92.4 | 14   |
| Ave.Total | 1.12 | 161.2 | 6.26 | 31.3 | 0.58 | 25.1 | 1.9  | 33.9 | 9.37 | 0.62 | 2.6  | 433 | 1.345 | 118  | 7.5  | 53.9 | 13.9 |
| UCC       | 1.5  | 550   | 10   | 35   | 3.7  | 25   | 25   | 20   | 112  | 0.2  | 11   | 350 | 10.7  | 60   | 22   | 71   | 190  |
| NASC      | 28.4 | 636   | 25.7 | 125  | 5.16 | 0    | 13   | 58   | 125  | 2.9  | 14.9 | 142 | 12.3  | 130  | 35   | 0    | 200  |
| PASS      | 0    | 650   | 23   | 110  | 15   | 50   | 19   | 55   | 160  | 0    | 16   | 200 | 14.6  | 150  | 27   | 85   | 210  |

آن‌ها افزوده شده است ( $G_7$ ,  $P_1$ ,  $P_2$ ,  $P_3$ )، از این‌رو در مطالعات آماری این نوع عناصر در نظر گرفته شده‌اند. نتایج ضریب همبستگی (پیرسون) بین عناصر جزئی رسوبات پادگانه‌ای با کربن آلی شیل‌های نفتی اطراف نشان می‌دهند که مقدار TOC با عناصر As, Co و Ni رابطه مثبت با معنی داری بالایی دارد و با عناصر Cu, Y, V, Nb, Zn و Cr رابطه مثبت با معنی داری متوسط و با عناصر Sr, Sc, Rb و Zr رابطه مثبت با معنی داری پایین دارد و با هم رابطه رابطه منفی دارد. از سویی دیگر، اکثر عناصر با هم رابطه مثبت و معنی داری دارند (به غیر از Rb, V) ولی عنصر Sr با اکثر عناصر مانند: As, Cr, Sc, Zr, Rb, Nb, Cu, Ni, Co و Y رابطه مثبت با معنی داری دارد و با عناصر V, Ni, Co و Zn رابطه مثبت با معنی داری پایین دارد و با عناصر Cu و Pr, Nd, Lu, Gd, Er, Dy, Tb و Yb دارای رابطه مثبت در سطح متوسط معنی داری می‌باشد و با عناصر Ce, Eu و La رابطه خاصی با یکدیگر ندارند. سایر عناصر نادر با هم رابطه مثبت و معنی دار بالایی دارند (جدول‌های ۵ تا ۷).

مقایسه عناصر خاکی کمیاب نمونه‌ها نسبت به استانداردها حاکی از تهی شدنی این عناصر در نهشته‌های گستره ناحیه مورد مطالعه می‌باشد.

نمودار بررسی تهی شدنی و غنی شدنی عناصر خاکی کمیاب نسبت به پوسته قاره‌ای حاکی از غنی شدنی بیشتر عناصر در رسوبات شاخابه پیربادوش می‌باشد (شکل ۵) در رسوبات شاخابه گشون کلیه عناصر دارای تهی شدنی هستند و تهی شدنی عناصر خاکی سبک نسبت به عناصر خاکی سنگین بیشتر می‌باشد. طبق نتایج ژوئیمیای رسوبات پادگانه‌ای در این تحقیق، بیشترین غنی شدنی عنصر اصلی و عنصر جزئی نسبت به استانداردها در نهشته‌های رودخانه‌ای به ترتیب مربوط به CaO و Sr و همه عناصر نادر خاکی نسبت به استانداردها تهی شدنی دارند. از آنجایی که تغییرات میزان غلظت عناصر اصلی (Fe, Al,...) با تغییرات میزان کربن آلی در یک محیط ارتباط خاصی ندارد و بیشتر به سنگ‌شناسی هر منطقه مرتبط است و از طرفی غلظت همه آن‌ها (به غیر از Ca) در رسوبات این منطقه کمتر از حد استانداردهای جهانی است، در این پژوهش مطالعه آماری جهت ارتباط این نوع عناصر با میزان مواد آلی شیل‌های نفتی انجام نشده است. ضمن آنکه میانگین غلظت برخی عناصر (As) نیز در نمونه‌ها زیر حد تشخیص بود ولی در بعضی ایستگاه‌ها بر میزان غلظت

جدول ۵. غلظت عناصر نادر خاکی رسوبات پادگانه‌ای

Table 5. Concentration of rare earth elements in fluvial terrace sediments

|           | Ce    | Dy   | Er   | Eu   | Gd   | La   | Lu    | Nd   | Pr   | Sm   | Tb    | Tm    | Yb   |
|-----------|-------|------|------|------|------|------|-------|------|------|------|-------|-------|------|
| Ave.G     | 10.88 | 1.05 | 0.48 | 0.2  | 1.5  | 6.25 | 0.12  | 6.57 | 1.82 | 0.41 | 0.263 | 0.106 | 0.63 |
| Ave.P     | 9.42  | 1.2  | 0.64 | 0.41 | 1.51 | 6.42 | 0.13  | 6.7  | 1.83 | 0.74 | 0.274 | 0.101 | 0.77 |
| Ave.Total | 10.15 | 1.13 | 0.56 | 0.3  | 1.5  | 6.33 | 0.125 | 6.63 | 1.82 | 0.57 | 0.268 | 0.103 | 0.7  |
| UCC       | 64    | 3.5  | 2.3  | 0.88 | 3.8  | 30   | 0.32  | 26   | 7.1  | 4.5  | 0.64  | 0.33  | 2.2  |
| NASC      | 66.7  | 4.17 | 2.84 | 1.18 | 4.9  | 31.1 | 0.46  | 27.4 | 7.7  | 5.59 | 0.85  | 0.48  | 3.06 |
| PASS      | 79.6  | 4.68 | 2.58 | 1.08 | 4.66 | 38.2 | 0.433 | 33.9 | 8.83 | 5.55 | 0.774 | 0.405 | 2.82 |
| WSA       | 83    | 5.5  | 3.75 | 1.61 | 6.35 | 41   | 0.61  | 38   | 10.1 | 7.5  | 1.23  | 0.63  | 3.53 |

جدول ۶. ضریب همبستگی (پیرسون) بین عناصر جزئی رسوبات پادگانه‌ای با کربن آلی شیل‌های نفتی

Table 6. Correlation coefficient (Pearson) between the minor elements of the sediments and the TOC of oil shales

|     | As     | Co     | Cr     | Cu     | Nb     | Ni     | Rb     | Sc     | Sr     | V      | Y      | Zn    | Zr    | TOC |
|-----|--------|--------|--------|--------|--------|--------|--------|--------|--------|--------|--------|-------|-------|-----|
| As  | 1      |        |        |        |        |        |        |        |        |        |        |       |       |     |
| Co  | .853** | 1      |        |        |        |        |        |        |        |        |        |       |       |     |
| Cr  | .665** | .934** | 1      |        |        |        |        |        |        |        |        |       |       |     |
| Cu  | .523*  | 0.503  | 0.302  | 1      |        |        |        |        |        |        |        |       |       |     |
| Nb  | 0.432  | .714** | .850** | 0.057  | 1      |        |        |        |        |        |        |       |       |     |
| Ni  | .900** | .894** | .741** | .594*  | 0.474  | 1      |        |        |        |        |        |       |       |     |
| Rb  | 0.121  | 0.323  | 0.476  | -0.071 | .761** | 0.075  | 1      |        |        |        |        |       |       |     |
| Sc  | 0.455  | .797** | .912** | 0.184  | .831** | 0.482  | .565*  | 1      |        |        |        |       |       |     |
| Sr  | -0.034 | 0.06   | -0.04  | .584*  | -0.383 | 0.137  | -0.231 | -0.048 | 1      |        |        |       |       |     |
| V   | .890** | .774** | .537*  | .728** | .0224  | .942** | -0.072 | 0.279  | 0.317  | 1      |        |       |       |     |
| Y   | .626*  | .878** | .883** | .531*  | .599*  | .720** | 0.32   | .844** | 0.363  | .624*  | 1      |       |       |     |
| Zn  | .551*  | .567*  | 0.428  | .796** | 0.214  | .711** | 0.091  | 0.241  | .569*  | .786** | .645** | 1     |       |     |
| Zr  | .516*  | .824** | .928** | 0.135  | .936** | .594*  | .550*  | .918** | -0.261 | 0.352  | .744** | 0.285 | 1     |     |
| TOC | .688** | .705** | .637*  | .522*  | .590*  | .674** | 0.432  | 0.476  | -0.011 | .604*  | .593*  | .536* | 0.505 | 1   |

جدول ۷. ضریب همبستگی (پیرسون) بین عناصر نادر خاکی رسوبات پادگانهای با کل کربن آلی شیل‌های نفتی

Table 7. Correlation coefficient (Pearson) between the rare earth elements of the sediments and the TOC of oil shales

|     | Ce     | Dy     | Er     | Eu     | Gd     | La     | Lu     | Nd     | Pr     | Tb     | Yb    | TOC |
|-----|--------|--------|--------|--------|--------|--------|--------|--------|--------|--------|-------|-----|
| Ce  | 1      |        |        |        |        |        |        |        |        |        |       |     |
| Dy  | .924** | 1      |        |        |        |        |        |        |        |        |       |     |
| Er  | .858** | .984** | 1      |        |        |        |        |        |        |        |       |     |
| Eu  | 0.311  | .559*  | .609*  | 1      |        |        |        |        |        |        |       |     |
| Gd  | .976** | .978** | .939** | 0.458  | 1      |        |        |        |        |        |       |     |
| La  | .968** | .973** | .940** | 0.453  | .982** | 1      |        |        |        |        |       |     |
| Lu  | .820** | .962** | .980** | .651** | .907** | .912** | 1      |        |        |        |       |     |
| Nd  | .972** | .981** | .941** | 0.468  | .998** | .980** | .914** | 1      |        |        |       |     |
| Pr  | .977** | .970** | .931** | 0.46   | .997** | .982** | .906** | .995** | 1      |        |       |     |
| Tb  | .949** | .993** | .963** | .542*  | .990** | .978** | .944** | .992** | .985** | 1      |       |     |
| Yb  | .794** | .933** | .970** | .565*  | .880** | .900** | .952** | .883** | .878** | .902** | 1     |     |
| TOC | 0.446  | .595*  | .613*  | 0.365  | .573*  | 0.501  | .606*  | .547*  | .558*  | .565*  | .592* | 1   |

جدول ۸. نتیجه تحلیل عاملی عناصر فرعی در رسوبات پادگانهای و کل کربن آلی شیل‌های نفتی

Table 8. The result of factor analysis the minor elements in fluvial terrace sediments and the TOC of oil shales

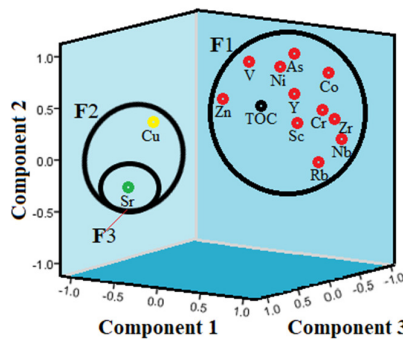
|       | Component |        |        |
|-------|-----------|--------|--------|
|       | 1         | 2      | 3      |
| Co    | 0.977     | -0.018 | -0.092 |
| Cr    | 0.928     | -0.282 | 0.064  |
| Y     | 0.901     | 0.052  | 0.322  |
| Ni    | 0.884     | 0.29   | -0.294 |
| As    | 0.824     | 0.213  | -0.455 |
| Zr    | 0.823     | -0.498 | 0.042  |
| Sc    | 0.794     | -0.45  | 0.279  |
| TOC   | 0.775     | 0.03   | -0.144 |
| V     | 0.77      | 0.549  | -0.28  |
| Nb    | 0.748     | -0.624 | 0.032  |
| Zn    | 0.671     | 0.576  | 0.205  |
| Sr    | 0.106     | 0.727  | 0.64   |
| Cu    | 0.568     | 0.671  | 0.163  |
| Rb    | 0.416     | -0.619 | 0.301  |
| Total | 57.914    | 21.774 | 8.281  |

می‌تواند مرتبط به فرایند جانشینی باشد. در محیط‌های رسوبی، این عنصر می‌تواند به صورت هم‌رسوبی با Ca موجود در ساختار کربنات‌ها تجمع کند (لانگ مایر، ۲۰۰۴) و در یک محیط امکان ورود Sr به صورت آواری در ساختار کربنات‌ها و جایگزینی با کلسیم وجود دارد (پاکزاد و همکاران، ۱۳۹۳). در نتیجه با توجه به شرایط محیطی گسترۀ مورد مطالعه، غنی‌شدنگی Sr دور از انتظار نمی‌باشد. نتایج آزمون تحلیل مؤلفه‌اصلی روابط بین عناصر نادر خاکی رسوبات پادگانهای و مقدار TOC شیل‌های نفتی، منجر به شناسایی تنها یک فاکتور اصلی گردید. به منظور بررسی دقیق بر روی غلطت عناصر جزئی، آنالیز تحلیل خوش‌های صورت گرفت که در آن در بازه ۰-۵، سه شاخه اصلی قابل شناسایی است. شاخه C<sub>1</sub> شامل عنصر Sr که معادل فاکتور سوم آزمون PCA است، شاخه C<sub>2</sub> نیز شامل V و شاخه C<sub>3</sub> شامل بقیه عناصر است که

نتایج آزمون تحلیل مؤلفه‌اصلی روابط بین غلطت عناصر جزئی رسوبات پادگانهای و مقدار TOC شیل‌های نفتی، منجر به شناسایی سه فاکتور اصلی گردید که ۸۷/۹۶٪ کل واریانس را شامل می‌شوند (جدول ۸). فاکتور اول که ۹۱/۵۷٪ کل واریانس را تشکیل می‌دهد با عناصر Co, Cr, Ni, Y, Zn, Rb, Nb, Sc, Zr, As و TOC رابطه مستقیم و معنی‌داری دارد. فاکتور دوم با ۷۷/۲۱٪ از کل واریانس با عناصر Sr و Cu رابطه مثبت و معنی‌داری دارد. فاکتور سوم که ۲۸/۸٪ از کل واریانس را شامل می‌شود با عنصر Sr رابطه مستقیم و معنی‌داری دارد (شکل ۶). طبق نمودار سه‌بعدی، عنصر Sr در دو مؤلفه قرار گرفته است: در یک مؤلفه همراه Cu قرار دارد که علت آن می‌تواند مرتبط با جذب سطحی این عناصر توسط کانی‌های رسی (مانند کائولینیت) باشد (پاکزاد و همکاران، ۱۳۹۳) و در مؤلفه دیگری به صورت منفرد قرار گرفته است که علت آن

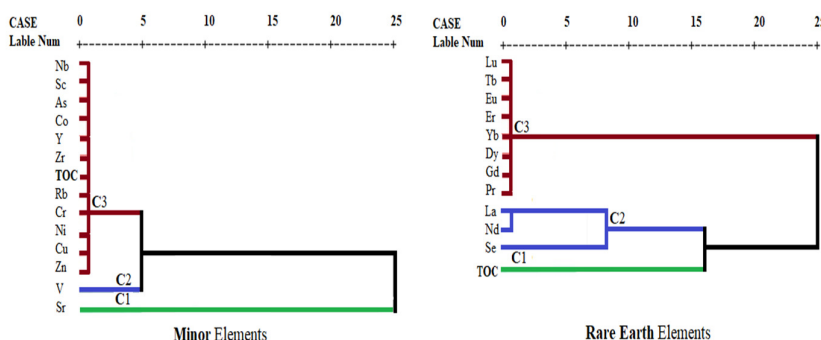
روی غلظت عناصر نادر خاکی نیز نشان داد که در بازه ۵-۱۰، سه شاخه اصلی قابل شناسایی است. شاخه  $C_1$ ، TOC و شاخه  $C_2$  شامل عناصر Ce، Nd و La می‌باشد و شاخه  $C_3$  شامل سایر عناصر می‌باشد. نتایج تحلیل خوشه‌ای نشان می‌دهد که غلظت و رفتار TOC با عناصر نادر خاکی متفاوت و مستقل می‌باشد (شکل ۷).

معادل فاکتور اول آزمون PCA می‌باشند. در مجموع نتایج ضربی پیرسون، CA و PCA دارای همخوانی بالایی است که نشان از رفتار عناصر کاملاً متناسب با رفتار و تغییرات TOC دارد و تنها عنصر Sr دارای روندی برعکس دیگر عناصر است و عناصر Cu و V نیز روند نسبتاً متفاوتی نسبت به سایر عناصر دارند (شکل ۷). آنالیز تحلیل خوشه‌ای بر



شکل ۶. نمودار سه بعدی روابط بین غلظت عناصر جزئی رسوبات پادگانه‌ای و مقدار کل کربن آلی شیل‌های نفتی

Fig. 6. Three-dimensional diagram of relationships between trace elements concentration in fluvial terrace sediments and TOC value of oil shales



شکل ۷. نمودار تحلیل خوشه‌ای بین عناصر جزئی و عناصر نادر خاکی رسوبات پادگانه‌ای با کربن آلی شیل‌های نفتی

Fig. 7. Cluster analysis diagram between minor elements and rare earth elements of fluvial terrace sediments with TOC of oil shales

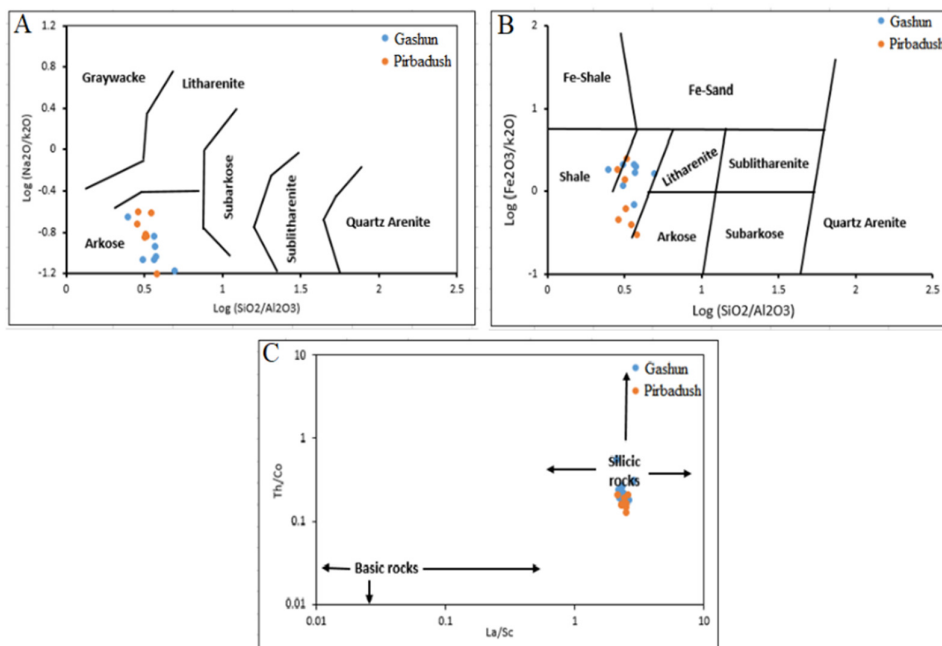
قليان است (نمودار ۸، C). نمودارهایي جهت تعیین ترکیب و خاستگاه نهشته‌های مورد مطالعه استفاده شده‌اند. نمودار اکوز (۲۰۰۱) با در نظر گرفتن  $\text{Al}_2\text{O}_3$  نسبت به  $\text{TiO}_2$  نشان دهنده ترکیب گرانودیورتی برای رسوبات پادگانه‌ای رودخانه قليان می‌باشد (نمودار ۹، A). گرانودیوریت‌ها که سازنده اصلی توده‌های گرانیت‌وئیدی ازنا-الیگودرز هستند، حاصل فعالیت‌های ماگمایی مرتبط با زون فرورانش ورقه اقیانوسی نهوتیس به زیر ورقه قاره‌ای ایران مرکزی می‌باشند. این توده پلوتونیکی در پهنه سنندج- سیرجان رخمنون دارد (محمدی و همکاران،

### ۳-۴- تعیین منشا و خاستگاه

نمودار هرون (۱۹۸۸)، منشاء نمونه‌های مورد مطالعه را در محدوده لیت‌آرنیت، آرکوز و ساب‌آرکوز نشان می‌دهد (نمودار ۸، A). بر مبنای نمودار پتی جان و همکاران (۱۹۷۲)، نمونه‌ها در محدوده بین آرکوز، لیت‌آرنیت و شیل قرار دارند و به نظر می‌رسد که احتمال تبدیل آن‌ها به شیل وجود دارد (نمودار ۸، B). دیاگرام مبتنی بر عناصر فرعی از قبیل دیاگرام دوتایی کالز (۲۰۰۲) نیز نشان دهنده سنگمنشاء آذرین فلزیک (غنی از کوارتز و فلدسپات، مانند گرانیت) برای رسوبات پادگانه‌ای رودخانه

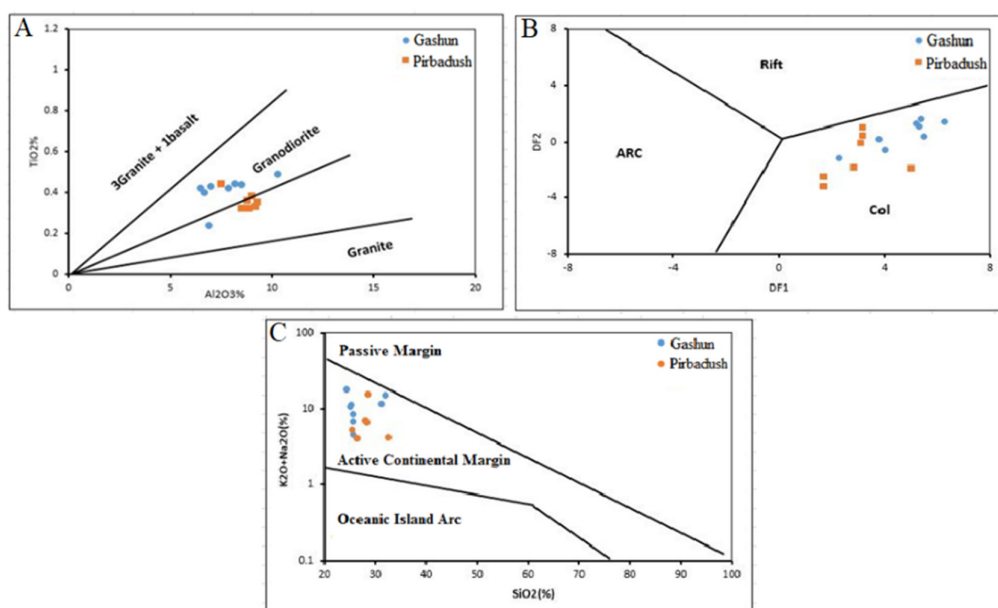
سیلیس ترسیم شدن و جایگاه برخوردي را برای این نهشته‌ها به نمایش می‌گذارد (نمودار ۹، B). نمودار روزر و همکاران (۱۹۸۸) جایگاه فعال قاره‌ای را برای نهشته‌ها نشان می‌دهد (نمودار C، ۹).

(۲۰۱۰) که با توجه به قربت این پهنه با کمرنگ چین خورده زاگرس مرتفع، می‌تواند در ترکیب نهشته‌های منطقه دخیل باشد و جزیی از سنگ منشاء آن‌ها محسوب شود. در دیاگرام چندبعدی جدید ورم و آرمسترانگ-آلترین (۲۰۱۳) تمامی نمونه‌های مورد مطالعه در دیاگرام کم



شکل ۸. نمودارهای ترکیب سنگ‌شناسی نهشته‌ها، A) (Herron, 1988)، B) (Pettijohn et al., 1972)، C) (کولرز، ۲۰۰۲) (پتیجان و همکاران، ۱۹۷۲، C)

Fig. 8. Lithological composition diagrams of the deposits, A) (Herron, 1988), B) (Pettijohn et al., 1972), C) (Cullers, 2002)



شکل ۹. نمودارهای خاستگاه نهشته‌ها، A) (Ekosse, 2001)، B) (Verma and Armstrong-Altrin, 2013)، C) (Roser et al., 1988)

Fig. 9. Diagrams of the origin of deposits, A) (Ekosse, 2001), B) (Verma and Armstrong-Altrin, 2013), C) (Roser et al., 1988)

همکاران، ۱۹۹۵). شاخص ICV، مقدار فراوانی Al نسبت به سایر کاتیون رس‌ها را مشخص می‌کند که از رابطه محاسبه می‌شود (کوکس و همکاران، ۱۹۹۵). این شاخص ارتباط مستقیم با کانی‌ها و پایداری آن‌ها در برابر هوازدگی دارد و برای اندازه‌گیری مقدار بلوغ کانی‌شناسی نهشته‌های ناشی از دگرسانی (بلوغ ترکیبی) به کار می‌رود. مقادیر بالاتر از یک این اندیس مربوط به رسوبات نابالغ محیط‌های زمین‌ساختی فعال و ابتدایی چرخه نهشتند. هرچه هوازدگی شدیدتر باشد مقدار آن کمتر می‌شود که به غنی‌شدنگی بیشتر Al مرتبط می‌شود (پرایس و ولبل، ۲۰۰۳).

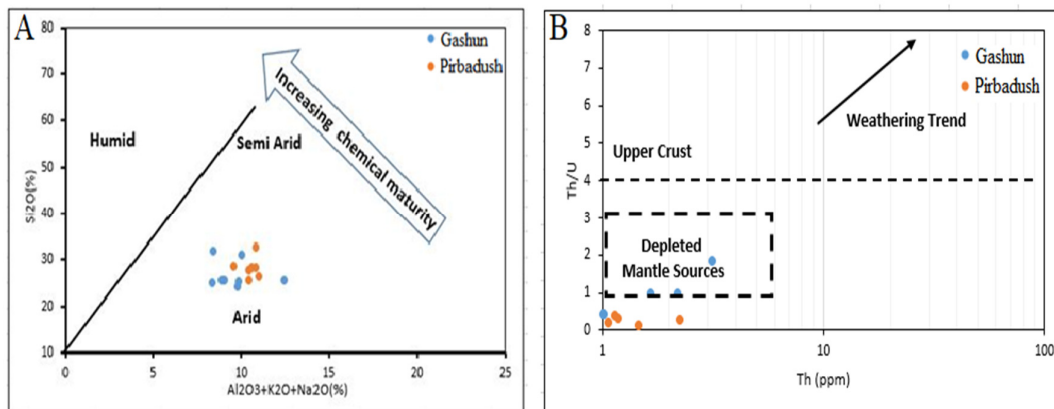
$$\text{PIA} = 100 \left[ \frac{(\text{Al}_2\text{O}_3 + \text{K}_2\text{O})}{(\text{Al}_2\text{O}_3 + \text{CaO} + \text{Na}_2\text{O} + \text{K}_2\text{O})} \right] \quad \text{رابطه ۱}$$

شاخص PIA در کلیه نمونه‌های مورد مطالعه بین ۱۶٪-۷٪ است که نشان از تاثیر کم هوازدگی بر رسوبات این منطقه می‌باشد.

$$\text{ICV} = \frac{(\text{Fe}_2\text{O}_3 + \text{CaO} + \text{Na}_2\text{O} + \text{K}_2\text{O} + \text{MgO} + \text{MnO} + \text{TiO}_2)}{\text{Al}_2\text{O}_3} \quad \text{رابطه ۲}$$

شاخص ICV در نهشته‌های رودخانه قلیان بین ۳/۱-۵/۹ در نوسان است که نشان‌دهنده رسوبات نابالغ مربوط به محیط‌های زمین‌ساختی فعال می‌باشد.

پلات داده‌های مورد مطالعه بر روی دیاگرام ساتنر و دوتا (۱۹۸۶) نشان‌دهنده خاستگاه تشکیل نهشته‌ها در شرایط آب و هوایی خشک است که با رسیدگی شیمیایی کم، شرایط آب و هوایی مرتبط را طی نکرده‌اند (نمودار A). بر اساس دیاگرام مکلنن (۱۹۹۳) نسبت U-Th در نمونه‌های مورد مطالعه بین ۰/۲۷-۱/۸۵ در نوسان است (نمودار B). بنابراین همه نمونه‌های رسوبی مورد مطالعه زیر حد پوسته قاره‌ای بالایی قرار دارند که احتمالاً نتیجه زمین‌ساخت فعال در مناطق منشاء است که نشان می‌دهد رسوبات از سنگمنشاء با کمترین میزان هوازدگی یا از موادی با کمترین حمل و نقل و رسوب‌گذاری مشتق شده‌اند. در این پژوهش با توجه به ترکیب نهشته‌ها، جهت تعیین میزان هوازدگی از شاخص‌هایی مانند شاخص دگرسانی پلازیوکلаз<sup>۱</sup> و شاخص تغییرات ترکیبی<sup>۲</sup> استفاده شده است. شاخص دگرسانی پلازیوکلاز در تعیین شرایط هوازدگی پیشین رسوبات آواری کاربرد زیادی دارد (فدو و همکاران، ۱۹۹۵). این اندیس از رابطه ۱ محاسبه می‌شود. میزان اندیس PIA نزدیک به ۱۰۰، هوازدگی شدید و تبدیل کامل فلدسپارها به کانی‌های رسی ثانویه از جمله کائولینیت، ایلیت و ژپیست را نشان می‌دهد و کمتر از ۵۰، نشان‌دهنده سنگ‌های غیرهوازده و تازه می‌باشد (فدو و



شکل ۱۰. جایگاه نهشته‌ها در نمودارهای آب و هوای دیرینه و هوازدگی، A) (Suttner and Dutta, 1986)، B) (McLennan, 1993)

پادگانه‌ای بالادرست منطقه می‌تواند مرتبط با مجاورت آن‌ها با سازنده‌های تبخیری نجمه و گوتنیا باشد و برتری کوارتز در نمونه‌های پایین‌دست می‌تواند به دلیل قربت آن‌ها با نهشته‌های کواترنری و رسوبات آبرفتی باشد. ایلیت، آلبیت

##### ۵- نتیجه‌گیری

نتایج مطالعات کانی‌شناسی رسوبات در این پژوهش حاکی از این است که کانی‌های کلسیت، کوارتز و دولومیت جزء کانی‌های اصلی هستند و حضور غالب دولومیت در رسوبات

<sup>2</sup> Index Combinatorial Variations (ICV)

<sup>1</sup> Plagioclase Index Alteration (PIA)

غلظت و رفتار میزان کل مواد آلی شیل‌های نفتی با عناصر نادر خاکی متفاوت و مستقل می‌باشد. با توجه به مطالعات آماری، خاستگاه عناصر نادر خاکی در رسوبات پادگانهای این منطقه می‌تواند مرتبط با جایگاه تشکیل و هواردگی نهشته‌ها باشد که در مورد عناصر جزیی، علاوه بر عوامل یاد شده، میزان کل کربن آلی موجود در شیل‌های نفتی پراکنده در منطقه نیز می‌توانند تأثیرگذار باشند. بر مبنای گراف‌های ژئوشیمیایی ترکیب سنگ‌شناسی، در نمودار هرون، منشاء نمونه‌های مورد مطالعه را در محدوده لیترنایت، آرکوز و ساب‌آرکوز نشان می‌دهد و بر مبنای نمودار پتی جان و همکاران، نمونه‌ها در محدوده بین آرکوز، لیت‌آرنایت و شیل قرار دارند و به نظر می‌رسد که احتمال تبدیل آن‌ها به شیل وجود دارد. دیاگرام مبتنی بر عناصر فرعی از قبیل دیاگرام دوتایی کالریز نیز نشان‌دهنده سنگ‌منشاء آذرین فلزیک (غنى از کوارتز و فلدسپات، مانند گرانیت) برای رسوبات پادگانهای رودخانه قلیان است. نمودارهایی جهت تعیین ترکیب و خاستگاه نهشته‌های مورد مطالعه استفاده شده‌اند. نمودار اکو<sub>z</sub> با در نظر گرفتن  $\text{Al}_2\text{O}_3$  نسبت به  $\text{TiO}_2$  نشان‌دهنده ترکیب گرانوویورتی برای رسوبات پادگانهای رودخانه قلیان می‌باشد که با توجه به قربت پهنه سنتنگ- سیرجان با کمریند چین خوده زاگرس مرتفع، گرانوویورت می‌تواند در ترکیب نهشته‌های منطقه دخیل باشد و جزیی از سنگ‌منشاء آن‌ها محسوب شود. در دیاگرام چندبعدی جدید ورما و آرمستانگ-آلترین، نمونه‌ها در دیاگرام کم سیلیس ترسیم شدند که جایگاه برخوردي را برای این نهشته‌ها به نمایش می‌گذارد. نمودار روزر و همکاران جایگاه فعل قاره‌ای را برای نمونه‌های این پژوهش نشان می‌دهد. پلات داده‌های مورد مطالعه بر روی دیاگرام ساتنر و دوتا نشان‌دهنده خاستگاه تشکیل نهشته‌ها در شرایط آب و هوایی خشک است که با رسیدگی شیمیایی کم، شرایط آب و هوایی مربوط را طی نکرده‌اند. بر اساس دیاگرام مکلنان، نسبت  $\text{Th}/\text{U}$  در نمونه‌های مورد مطالعه بین ۱/۸۵-۲۷/۰ در نوسان است، بنابراین نمونه‌ها زیر حد پوسته قاره‌ای بالایی قرار دارند که احتمالاً نتیجه زمین‌ساخت فعل در مناطق منشاء است که نشان می‌دهد رسوبات از سنگ‌منشاء با کمترین میزان هواردگی با از موادی با کمترین حمل و نقل و رسوب‌گذاری مشتق شده‌اند. میزان اندیس PIA (۱۶٪- ۷٪) در نمونه‌ها نشان از تأثیر کم هواردگی بر رسوبات دارد و شاخص ICV

و آنورتیت جزء کانی‌های نیمه فرعی رسوبات پادگانهای محسوب می‌شوند. ابقاء کاتیون‌های قلیایی (به ویژه پتاسیم) در محیط خنثی یا کمی قلیایی از شرایط تشکیل ایلیت است که احتمالاً حاصل فلدسپاهای پتاسیک (میکروکلین، آنورتوكلاز، ارتوکلاز و سانیدین) است. با توجه به وجود مواد آلی، سولفور و پیریت (در حازا) در رسوبات پادگانهای کهنه‌تر رودخانه، این نهشته‌ها شرایط احیایی ( $\text{Eh} < 0$ ) را طی کرده‌اند و اکسایش پیریت باعث تشکیل زپس و تجزیه آن باعث تشکیل ژوراسیت شده است. در مقایسه با استانداردهای جهانی، بیشترین تهی‌شدگی اکسیدهای اصلی عناصر در رسوبات پادگانهای مربوط به  $\text{CaO}$  و غنی‌شدگی فقط نسبت به  $\text{Na}_2\text{O}$  وجود دارد که علت آن لیتولوژی آهکی منطقه می‌باشد. تهی‌شدگی شدید  $\text{Na}_2\text{O}$  به دلیل پایداری کم در فرآیندهای حمل و نقل می‌باشد که حاصل تحرک زیاد این عنصر در طی هوazardگی شیمیایی و دگرسانی‌های ثانویه می‌باشد. از عوامل مؤثر در غنی‌شدگی  $\text{P}_2\text{O}_5$  در بخش‌هایی از ناحیه مورد مطالعه، شرایط محیطی (احیاء و وجود میان‌لایه‌های آهکی در نهشته‌ها) است. نسبت  $\text{SiO}_2/\text{Al}_2\text{O}_3$  در کلیه نمونه‌ها کمتر از ۵ است که نشانه عدم بلوغ رسوبی این نهشته‌ها می‌باشد. تهی‌شدگی شدید Rb در رسوبات پادگانهای پیامد شکسته شدن فلدسپارها هنگام فرآیندهای دگرسانی می‌باشد. غنی‌شدگی بالا نسبت به Sb, As, Ni و V در ارتباط مستقیم با شیل‌ها به ویژه شیل‌های سیاه می‌باشند و عناصر سنگین Cr, Co, Ni می‌توانند در سنگ بسترها شیل، ماسه‌سنگ و سنگ‌آهک متمنکز شوند. غنی‌شدگی با پراکنده‌گی کانی‌های رسی (مانند کائولینیت) و گسترش لایه‌های آهکی و pH قلیایی محیط مرتبط است. در کلیه نمونه‌ها، عناصر خاکی کمیاب نسبت به استانداردهای UCC, PAAS و WSA دارای تهی‌شدگی می‌باشند. بر اساس نتایج آزمون همبستگی پیرسون، کل مواد آلی شیل‌های نفتی با عناصر جزیی As, Co, Ni و  $\text{Sb}$  رسوبات رابطه مثبت با معنی داری بالایی دارد و با  $\text{Sr}$  رابطه منفی دارد. بر اساس تحلیل مولفه‌اصلی و آنالیز تحلیل خوش‌های، Sr کاملاً متفاوتی دارد. بر اساس نتایج آزمون همبستگی پیرسون، رابطه بین مقدار میزان کل مواد آلی شیل‌های نفتی با عناصر نادر خاکی در سطح معنی داری بالایی نیست و نتایج آزمون تحلیل مولفه‌اصلی بر غلظت عناصر نادر خاکی قابل استناد نمی‌باشد و در آنالیز تحلیل خوش‌های،

- disulphides in sedimentary rocks. *Sedimentary Geology*, 107(3-4): 281-301. doi.org/10.1016/S0037-0738 (96)00031-0.
- Ekosse, G (2001) Provenance of the Kgwakgwe kaolin deposit in Southeastern Botswana and its possible utilization. *Applied clay science*, 20(3): 137-152.
- Emami, S. N (2022) The source determination of sediments due to weathering of igneous, sedimentary and metamorphic rocks using the geochemical behavior of some basic and rare metal elements. *Geology*, 11(4): 710-722.
- Fedo, C. M., Wayne Nesbitt, H., Young, G. M (1995) Unraveling the effects of potassium metasomatism in sedimentary rocks and paleosols, with implications for paleoweathering conditions and provenance. *Geology*, 23(10): 921-924.
- Fereidoni, M., Rashidi, M., Rashid Nejad, N., Lotfi, M (2015) Using geochemical studies to determine the correlation of trace elements and organic and mineral parameters in the oil shales of Qalikouh. *Oil & Gas Exploration & Production*, (131): 55-64 (in persian).
- Fulignati, P., Gioncada, A., Sbrana, A (1999) Rare-earth element (REE) behaviour in the alteration facies of the active magmatic-hydrothermal system of Vulcano (Aeolian Islands, Italy). *Journal of Volcanology and geothermal research*, 88(4): 325-342. doi.org/10.1016/S0377-0273 (98)00117-6.
- Herron, M. M (1988) Geochemical classification of terrigenous sands and shales from core or log data. *Journal of Sedimentary Research*, 58(5): 820-829.
- Heštera, H., Pahernik, M., Zelić, B. K., Maljković, M. M (2023) The Unified Soil Classification System Mapping of the Pannonian Basin in Croatia using Multinomial Logistic Regression and Inverse Distance Weighting Interpolation. *Rudarsko-geološko-naftni zbornik*, 38 (3): 147-159.
- Hosseinzadeh, S., Fattahil, M., Khanebad, M (2019) Geochemistry of quaternary deposits of the Kal-Shour River, Binalood. *Researches in Earth Sciences*, 10, 37 (1): 39-49. doi.org/10.52547/esrj.10.1.39.
- Kalagari, A., Abedini, A., Najafzadeh, P (2012) Major and minor elements geochemistry of sandstones of Laloon Formation (lower Cambrian) in southwest of Mashhad, Iran. *Advanced Applied Geology*, 2(1): 55-68.
- Khanehbad, M., Mousavi-Harami, S. R., Mahboubi, A (2012) Factors controlling the formation of silica and pyrite minerals in skeletal fragments in the Shishtu 2 Formation (Early Carboniferous), at Howz-e-Dorah area, southeast of Tabas. *Iranian Journal of Crystallography and Mineralogy*, 20(1): 141-152.
- (۵،۹-۳،۱) حاکی از رسوبات نابالغ مربوط به محیط‌های زمین‌ساختی فعال است.
- ## ۶- تشرک و قدردانی
- از معاونت محترم مدیر در علومزمین (دکتر معلمی)، ریاست ادراة کل زمین‌شناسی (دکتر عبدالله‌فرد) و ریاست محترم پژوهش- فناوری (دکتر حاجیان) مدیریت اکتشاف شرکت ملی نفت ایران و همچنین پژوهشکده محیط‌زیست و بیوتکنولوژی پژوهشگاه صنعت نفت که در انجام این پژوهش ما را حمایت نمودند، تشرک و قدردانی می‌شود.
- ## References
- Aghaei-Kerigh, M., Raghimi, M., Shamanian, G., Gholipour, M (2011) The effects of acid drainage in formation of environmental minerals (secondary minerals) in Galand-rud coal mines and waste materials of Vatani coal washing, Mazandaran province, *Iranian Journal of Crystallography and Mineralogy*, 19 (2): 325-338.
- Ahankoub, M., Keyvani, E (2023) Geology and geochemistry phosphate deposite in Lordegan, south of Chahar mahal and Bakhtiari province. *Journal of Environmental Science Studies*, 8(1): 6041-6050. doi.org/10.22034/jess.2022.350061.1817.
- Alipour, V., Abedini, A (2012) Behaviour of major, minor and trace elements (including REEs) during kaolinization processes at Zonouz deposit, northeast of Marand, East Azarbaijan province. *Journal of Economic Geology*, 3(2): 231-249. doi.org/10.22067/econg.v3i2.11434.
- Aubert, H., Pinta, M (1977) Development in Soil Science (Trace Elements in Soil). 7. doi.org/10.1017/S0016756800037572.
- Cox, R., Lowe, D. R., Cullers, R. L (1995) The influence of sediment recycling and basement composition on evolution of mudrock chemistry in the southwestern United States. *Geochimica et Cosmochimica Acta*, 59(14): 2919-2940. doi.org/10.1016/0016-7037 (95)00185-9.
- Cullers, R. L (2002) Implications of elemental concentrations for provenance, redox conditions, and metamorphic studies of shales and limestones near Pueblo, CO, USA. *Chemical Geology*, 191(4): 305-327. doi.org/10.1016/S0009-2541 (02)00133-X.
- Das, B. K., Haake, B. G (2003) Geochemistry of Rewalsar Lake sediment, Lesser Himalaya, India: implications for source-area weathering, provenance and tectonic setting. *Geosciences Journal*, 7: 299-312.
- Dill, H. G., Eberhard, E., Hartmann, B (1997) Use of variations in unit cell length, reflectance and hardness for determining the origin of Fe

- setting. *Journal of African Earth Sciences*, 147: 623-632.
- Pakzad, H. R., Pasandi, M., Romiani, A., Kamal, M (2014) Distribution of Ni, Cr, Sr, Cu, and Zn in the Fine-Grained Sediments of Anzali Wetland. *Environmental Sciences*, 12(2).
- Piper, D. Z (1974) Rare earth elements in the sedimentary cycle: a summary. *Chemical geology*, 14(4): 285-304.
- Pourshaban, A., Yazdi, M., Adabi, M. H., Daryabandeh, M (2022) Factors affecting trace elements enrichment and its interaction with organic materials in Qalikouh oil shale. *Applied Sedimentology*, 9(18): 76-96 (in persian). doi.org/10.22084/psj.2021.23708.1275.
- Price, J. R., Velbel, M. A (2003) Chemical weathering indices applied to weathering profiles developed on heterogeneous felsic metamorphic parent rocks. *Chemical geology*, 202(3-4): 397-416.
- Rahiminejad, A. H., Zand-Moghadam, H (2023) Investigating the formation of pyrite framboids in the Upper Devonian marine black shales of southeast of Central Iran: an approach to evaluation of water oxygen level in paleoenvironments. *Applied Sedimentology*, 11 (22): 180-192 (in persian). doi.org/10.22084/psj.2023.27814.1395.
- Roddaz, M., Viers, J., Brusset, S., Baby, P., Boucayrand, C., Héral, G (2006) Controls on weathering and provenance in the Amazonian foreland basin: Insights from major and trace element geochemistry of Neogene Amazonian sediments. *Chemical Geology*, 226(1-2): 31-65. doi.org/10.1016/j.chemgeo.2005.08.010.
- Rose, N. L., Boyle, J. F., Du, Y., Yi, C., Dai, X., Appleby, P. G., Yu, L (2004) Sedimentary evidence for changes in the pollution status of Taihu in the Jiangsu region of eastern China. *Journal of Paleolimnology*, 32: 41-51.
- Roser, B. P., Korsch, R. J (1986) Determination of tectonic setting of sandstone-mudstone suites using SiO<sub>2</sub> content and K<sub>2</sub>O/Na<sub>2</sub>O ratio. *The Journal of Geology*, 94 (5): 635-650. doi.org/10.1086/629071.
- Roser, B. P., Korsch, R. J (1988) Provenance signatures of sandstone-mudstone suites determined using discriminant function analysis of major-element data. *Chemical geology*, 67 (1-2): 119-139.
- Salehi, M. A., Mazroei Sebdani, Z (2020) Trace and rare earth elements geochemistry of the Lower Cretaceous siliciclastic red beds in north east Isfahan: Implication for provenance and source rocks. *Applied Sedimentology*, 7(14): 22-33 (in persian). doi.org/10.22084/psj.2019.3402.
- Shahraki, M., Mahmudy Gharaie, M. H., Mousavi-Harami, S. R., Ahmadi, A (2016) Geochemistry of Streambed Sediments of Sarbaz River, South East of Iran: Determining Sediment Provenance Khodakarami, L., Soffianian, A., Mirghafari, N., Afyuni, M., Golshahi, A (2012) Concentration zoning of chromium, cobalt and nickel in the soils of three sub-basin of the Hamadan province using GIS technology and the geostatistics.
- Knappe, A., Möller, P., Dulski, P., Pekdeger, A (2005) Positive gadolinium anomaly in surface water and ground water of the urban area Berlin, Germany. *Geochemistry*, 65(2): 167-189. doi.org/10.1016/j.chemer.2004.08.004.
- Kurdi, M., Bushiri, A. R (2003) Recognize the clay minerals of Kozhdumi formation (Burgan sands) and their effect on the reservoir rock in the Persian Gulf. *Scientific monthly oil and gas exploration and production. Oil & Gas Exploration & Production*, (5): 16-17 (in persian).
- Langmuir, D (2004) Issue paper on the environmental chemistry of metals. US Environmental Protection Agency.
- Mahmoudi Qaraei, M. H., Kianpour, S., Mousavi-Harami, S. R., Mashreghi, M (2011) The formation of autogenic pyrite by geomicrobiology method in the laboratory and its application in sediment-Seas of Southeast Japan. *Iranian Journal of Crystallography and Mineralogy*, 18(4): 659-668. (in persian).
- McGlinchey, D (2009) Characterisation of bulk solids. John Wiley and Sons. doi.org/10.1002/9781444305456.
- McLennan, S. M (1993) Weathering and global denudation. *The Journal of Geology*, 101(2): 295-303. http://dx.doi.org/10.1086/648222.
- McLennan, S. M (2001) Relationships between the trace element composition of sedimentary rocks and upper continental crust. *Geochemistry, Geophysics, Geosystems*, 2(4). doi.org/10.1029/2000GC000109.
- Moallemi, S. A., Salehi, M. A., Zohdi, A (2017) Geochemistry of the Razak Formation sandstones, southeastern Zagros sedimentary basin: implications for tectonic setting, parent rocks and palaeoweathering. *Scientific Quarterly Journal of Geosciences*, 26(103): 265-286. doi.org/10.22071/gsj.2017.46608.
- Mohammadi, A. S., Khalili, M., Mansouri Isfahani, M (2010) The effect of weathering on the mineralogy and geochemistry of granitoids of Dehno (northeast of Aliqadarz). *Iranian Journal of crystallography and mineralogy*, 18(4): 601-614 (in persian).
- National Iranian Oil Company-Exploration Management (2013) Geological report of Qalikuh oil shales (report).
- Oghenekome, M. E., Chatterjee, T. K., van Bever Donker, J. M., Hammond, N. Q (2018) Geochemistry and weathering history of the Balfour sandstone formation, Karoo basin, South Africa: Insight to provenance and tectonic

- and its Impact on Possible Environmental Pollution. *Scientific Quarterly Journal of Geosciences*, 25 (97): 237-250.
- Smedley, P. L., Zhang, M., Zhang, G., Luo, Z (2003) Mobilisation of arsenic and other trace elements in fluviolacustrine aquifers of the Huhhot Basin, Inner Mongolia. *Applied Geochemistry*, 18(9): 1453-1477. doi.org/10.1016/S0883-2927(03)00062-3.
- Suttner, L. J., Dutta, P. K (1986) Alluvial sandstone composition and paleoclimate; I, Framework mineralogy. *Journal of Sedimentary Research*, 56(3): 329-345.
- Taylor, S. R., McLennan, S. M (1985) The continental crust: its composition and evolution. doi.org/10.1002/gj.3350210116.
- Tucker, M. E (1988). Techniques in sedimentology. Blackwell Scientific Publications.
- Verma, S. P., Armstrong-Altrin, J. S (2013) New multi-dimensional diagrams for tectonic discrimination of siliciclastic sediments and their application to Precambrian basins. *Chemical Geology*, 355: 117-133. doi.org/10.1016/j.chemgeo.2013.07.014.

## Geochemical investigation and determination of the origin of fluvial terrace deposits of Qolyan River in Qalikuh region of Lorestan, Zagros high

A. S. Hosseini<sup>\*1</sup>, M. Rashidi<sup>2</sup> and M. Daryabandeh<sup>3</sup>

1- M. Sc, Geological Operations, Exploration Management, National Iranian Oil Company, Tehran, Iran

2- Head of Hydrocarbon Systems Department, Exploration Management, National Iranian Oil Company, Tehran, Iran

3- Head of Geochemistry Studies Department, Exploration Management, National Iranian Oil Company, Tehran, Iran

\* a.saeedhosseini@gmail.com

Received: 2023.12.26 Accepted: 2024.7.17

### Abstract

Qalikuh region of Lorestan is very important in the geology of Iran due to the spread of oil shales deposits. The Qolyan River flows in the bed of these deposits. In order to investigate the elemental geochemistry, to determine the origin and to investigate the relationship between the concentration of elements and the amount of organic matter, 15samples from the fluvial terrace sediments of the Qolyan River and 15samples from the surrounding oil shales were collected and subjected to petrographic and geochemical analysis. The results showed that the most depletion of main oxides in sediments is related to Na<sub>2</sub>O and there is enrichment only in relation to CaO. Enrichment of minor elements Sb, As, Ni, V related to shales and Sr is related to the dispersion of clay minerals and lime layers. The depletion of Rb is the consequence of feldspars breaking in process of alteration. Nb, Zr elements are present in sedimentary minerals in minor form. The origin of minor and rare earth elements is related to the place of formation, weathering in the deposits and the amount of total organic carbon in the oil shales scattered in the region. The samples are in the range of litharenite, arkose to shale, which are related to the environments of active continental margin and collisional. According to the Th/U ratio, the sediments were formed from source rocks with the least weathering. The amount of PIA and ICV index of the samples shows the effect of low weathering on sediments related to active tectonic environments.

**Keywords:** Qolyan River, Sedimentary geochemistry, Oil shales, Qalikuh, Origin of sediments

### Introduction

The Qalikuh region is a constituent of the Zagros Fold-Thrust Belt, often known as the High Zagros. The Qolyan River holds significant prominence throughout the local area, ultimately converging with the Dez River. The Sargelu and Garau formations in this particular region of Iran are widely distributed with oil shales, making them the primary reservoirs for unconventional hydrocarbons in the country. This study focuses on conducting geochemical analyses of major, minor, and rare elements, as well as investigating the characteristics of the source rock. The aim is to determine the origin and weathering of the fluvial terrace sediments and assess the correlation between sediment elements and the quantity of organic matter present in oil shales. The chemical composition of sediments and detrital rocks is determined by a range of geological parameters, including the tectonic

location, the composition of the source rock, the intensity of weathering, textural maturity, and mineralogy during movement and deposition. Examining the spatial arrangement of major, minor, and rare earth elements within water systems and sub-environments, such as rivers, concerning their distribution in source rocks, holds significant importance in geochemical and sedimentological research. The examination of minor elements through geochemical analysis can be a valuable tool in elucidating the processes of deposition and weathering that occur within these fluvial terrace sediments. Fluvial terrace sediments can be enriched with rare earth elements as a result of the process of weathering. The geochemical behavior of certain elements can serve as a valuable indicator for discerning the geological processes involved in the formation and tectonic structure of sedimentary basins. Additionally, it can shed light on the fate of

materials that are transported into these basins, as well as the factors that control the distribution of sediments in rivers during erosion, weathering, and sedimentation.

### Materials and Methods

For this research, two specific portions of the Pirbadush (P) and Gashun (G) permanent waterways, which discharge into the Qolyan River, were chosen. Sediment samples were collected randomly, adhering to sedimentological sampling protocols (Tucker, 1988), utilizing a shovel, and extracting from a depth range of 10-30 cm. Following the process of sieving with a brush, a total of 15 samples were subsequently transferred into plastic zipped bags. These bags were then labeled and carefully placed inside cloth bags, which were for transportation to the Oil Industry Research Institute laboratory. The concentration of elements in the collected samples was determined using laboratory methods such as ICP-MS, XRF, and XRD. Additionally, some main oxides and mineralogical studies of the sediments were conducted. Microscopic thin sections were prepared to identify the mineral phases, including the main, minor, and semi-minor phases. A total of 15 oil shale samples were collected from the surrounding extracted sediments to assess the quantity of total organic carbon present in them. These samples were subsequently subjected to a Pyrolysis Rock-Eval. The investigation involved identifying mineral phases present in fluvial terrace sediments and the analysis of the elemental composition (including major, minor, and rare earth elements) in the sediments. This analysis aimed to determine the source rock characteristics, assess the degree of weathering, and explore the relationship between minor and rare earth elements in river sediments and the total organic matter (TOC) content of oil shales. Statistical calculations, such as Pearson's correlation coefficient, principal component analysis, and cluster analysis, were employed to examine this relationship. In the field of geochemical research, various benchmarks have been employed, namely the upper continental crust (UCC), post-Archaean Australian shales (PAAS), and North American shale composites (NASC). These benchmarks have been utilized to assess weathering through the application of the plagioclase alteration index

and composite alteration index. The Plagioclase Alteration Index (PAI) is a commonly employed method for assessing the past weathering conditions of clastic sediments. A value in proximity to 100 signifies significant weathering and the complete alteration of feldspars into secondary clay minerals, including kaolinite, illite, and gypsum. Conversely, a value below 50 shows the absence of weathering and the presence of unaltered, pristine rocks.

$$\text{PIA} = 100 \left[ \frac{(\text{Al}_2\text{O}_3 - \text{K}_2\text{O})}{(\text{Al}_2\text{O}_3 + \text{CaO} + \text{Na}_2\text{O} - \text{K}_2\text{O})} \right]$$

The composition index is a key factor in determining the relative abundance of aluminum to other cations present in clay minerals.

$$\text{ICV} = \frac{(\text{Fe}_2\text{O}_3 + \text{CaO} + \text{Na}_2\text{O} + \text{K}_2\text{O} + \text{MgO} + \text{MnO} + \text{TiO}_2)}{\text{Al}_2\text{O}_3}$$

This index exhibits a direct correlation with minerals and their resistance to weathering. It serves as a metric for quantifying the level of mineralogical maturity in fluvial terrace sediments resulting from alteration processes, known as composite maturity. Values exceeding one in this index are indicative of young sediments found in active tectonic settings, marking the initiation of the deposition cycle. There is an inverse relationship between the intensity of weathering and the value of the weathered material, which can be attributed to the increased enrichment of aluminum (Al).

### Discussion and Results

Clay minerals, calcite, quartz and dolomite are the main constituents of the crystalline phase of oil shales in the region. The occurrence of dolomite in the sediments located upstream can be attributed to their close vicinity to the Najmeh and Gutnia formations. Conversely, the prevalence of quartz in the sediments located downstream can be attributed to their proximity to the Quaternary deposits and alluvial sediments. In this region, Illite and albite are semi-sub minerals of fluvial terrace sediments. The retention of alkaline cations (especially  $\text{K}^+$ ) in a neutral or slightly alkaline environment is one of the conditions for the formation of illite, which is probably the result of potassium feldspars. Considering the presence of organic substances, sulfur and pyrite (autogenic) in the deposits of the older terraces of the river, the sediments have passed the negative redox potential conditions ( $\text{Eh} < 0$ ).

The oxidation of pyrite has caused the formation of gypsum and its decomposition has caused the formation of jurasite. When compared to global standards, the fluvial terrace sediments in this region exhibit the most significant depletion of the primary oxides of the elements, particularly sodium oxide ( $\text{Na}_2\text{O}$ ). Conversely, an enrichment regarding calcium oxide ( $\text{CaO}$ ) was observed, which can be attributed to the calcareous lithology prevalent in the area. The significant depletion in sodium oxide ( $\text{Na}_2\text{O}$ ) is attributed to its limited stability in transportation mechanisms, which arises from the elevated mobility of this element during chemical weathering and subsequent alterations. The Pirbadush section exhibits a higher concentration of phosphorus oxide ( $\text{P}_2\text{O}_5$ ), a phenomenon that may be attributed to the lithological characteristics of the investigated region. The concentration of oxides is highest to silicon dioxide ( $\text{SiO}_2$ ). The observed  $\text{SiO}_2/\text{Al}_2\text{O}_3$  ratio in all samples is found to be below 5, indicating the sedimentary immaturity of the examined deposits. The severe depletion of Rb can be attributed to the shattering of feldspars during alteration processes. The elevated concentrations of Sb, As, Ni, and V exhibit a direct correlation with shales, particularly black shales. Conversely, the presence of Sr is associated with the dispersion of clay minerals, the expansion of limestone strata, and the alkaline pH conditions prevailing in the surrounding environment. Rare earth elements exhibit depletion relative to UCC, PAAS, NASC and WSC standards across all examined samples. According to the geochemical graphs depicting lithological composition, the deposits fall within the spectrum of litharenites, arkose, and shale. The tectonic position of the deposits during their development suggests the presence of an active continental margin and a collisional margin. The paleoclimate associated with these deposits is characterized by arid climatic conditions and minimal chemical maturation. The observed range of Th/U ratios (0.27-1.85) in the analyzed samples can be attributed to ongoing tectonic processes in the source regions. This finding suggests that the sediments originated from source rocks with minimal weathering or from materials with limited movement and deposition. The observed PIA index values (ranging from 7% to 16%) in the examined samples indicate the

influence of limited weathering processes on the sediment composition. The ICV index, which ranges from 3.1 to 5.9, indicates immature sediments associated with active tectonic settings. The findings of Pearson's correlation analysis indicate a significant positive relationship between the TOC content of oil shales and the minor elements As, Co, and Ni in sediments. Conversely, a negative correlation is shown between the TOC of oil shales, and the element Sr. Strontium exhibits distinct behavioral patterns as determined by the application of principal component analysis and cluster analysis. Based on the Pearson correlation test findings, no statistically significant relationship is observed between the TOC value of oil shales and rare earth elements. Additionally, the results of the principal component analysis test on the concentration of rare earth elements lack reliability. Furthermore, the cluster analysis indicates that the concentration and behavior of TOC with rare earth elements are different and independent of each other.

### Conclusion

The results of sediment mineralogical studies in this research indicate that Calcite, Quartz and dolomite are the main minerals. Illite, Albite and Anorthite are semi-sub minerals of fluvial terrace sediments. Due to the presence of organic materials, sulfur and pyrite (in some cases) in the older fluvial terrace sediments, these deposits have undergone regeneration conditions ( $\text{Eh}<0$ ). The presence of organic matter and pyrite suggests that the deeper regions of the sedimentary environments have been subjected to reductive conditions, as indicated by the negative redox potential ( $\text{Eh}<0$ ). Regarding the expansion of limestone and shale lithologies in the region, it is observed that the main oxides of elements, excluding  $\text{CaO}$ , exhibit the highest levels of enrichment. Additionally, shales are associated with elevated concentrations of minor elements such as Sb, As, Ni, and V, while clay minerals and limestone layers contribute to the enrichment of Sr in conjunction with pH levels. The severe depletion of Rb can be attributed to the shattering of feldspars during alteration processes. There exists a correlation between the alkalinity of the environment. The occurrence of dolomite and quartz among the examined samples can be attributed to the geological formations evaporitic of Najma,

Gutnia, and Quaternary alluvial deposits. The lithological composition of the deposits indicates that the shales originate from detrital sources and have undergone limited chemical alteration due to arid climatic conditions. These shales have originated from source rocks that have experienced minimal weathering or materials that have undergone minimal transportation and sedimentation. Considering the geographical location of this region inside the high Zagros, it can be predicted that the sedimentary formations in region were formed on the active marginal of the continent. Based on statistical analyses, the presence of rare earth elements within the fluvial terrace in this particular region can be attributed to the specific location of their creation and

subsequent weathering processes. Regarding minor elements, apart from the parameters mentioned above, the overall quantity of organic carbon present in the dispersed oil shales within the area can also exert influence.

#### Acknowledge

Especial Thanks of:

Deputy Director in Earth Sciences (Dr.Moalemi) and Head of Geological Department (Dr.Abdolahifard) and Colleagues of the Research and Technology Department (Dr. Hajian) in Exploration management of National Iranian Oil Company.

Research Department of Environment and Biotechnology, Research Institute of Petroleu.